

⑦

Der differenzierbare Sphärensatz

Alumnitreffen, 19.11.2011.

1) Geometrie und Topologie

Sei M eine „Fläche“, d.h. ein zweidimensionales Objekt:



Sphäre S^2



Torus T^2



Die lokale Geometrie von M wird durch die Gaußkrümmung bestimmt.

S_r = Kreis mit Radius r um einen Punkt $p \in M$.

Dann gilt $L(S_r) = 2\pi r / (1 - \frac{K}{6} r^2 + o(r^2))$

wobei $K = K(p)$ die Gaußkrümmung im Punkt p ist.

Bsp.: Für die Sphäre S^2 ist $K \geq 0$, für R^2 ist $K = 0$.

Für Torus ist $K > 0$ „außen“ und $K < 0$ „innen“.

Die globale Geometrie (besser gesagt Topologie) wird

durch die Eulercharakteristik bestimmt. Trianguliert

die Fläche und zähle $\chi := \# \text{Ecken} - \# \text{Kanten} + \# \text{Flächen}$

$$\text{z.B. } \chi(S^2) = 8 - 6 + 2 = 2$$

$$\chi(\text{Torus}) = 0$$

(2)

$$\text{Gauss-Bonnet: } \int_M K = 2\pi \chi(M)$$

$$\text{z.B. } K=1, \text{ vol}(S^2) = 4\pi, \chi(S^2) = 2.$$

Egal, welche Metrik der Torus T^2 trägt, das Integral über K ist 0. z.B. kann es auf T^2 keine Metrik mit $K > 0$ geben.

Auf der Sphäre S^2 ist jede geschlossene Kurve "kontrahierbar", d.h. lässt sich auf einen Punkt zusammenziehen. S^2 ist einfach zusammenhängend. S^2 ist die einzige einfache zusammenhängende Fläche.

2) Höherdimensionale Verallgemeinerungen

$M = n$ -dimensionale Mannigfaltigkeit.
Die Asymptotik der Volumina kleiner Sphären führt auf die Skalarkrümmung s . Diese trägt

wenig Information über die Topologie von M .

Betrachtet man Kreise tangential an eine Ebene, so kriegt man die Schnittkrümmung K .

Diese hängt von ρM und von Ebene $PCT_{\rho M}$ ab. ③

- Bsp.:
- $K \equiv 1$ für n -sphäre S^n .
 - $K \equiv 0$ für \mathbb{R}^n
 - $K \equiv -1$ für H^n (hyperbolischer Raum)

Topologie: - X existiert ist aber schwache Invariante.
Es gibt viele Mannigfaltigkeiten mit gleicher
Eulercharakteristik.

- M heißt einfach zusammenhängend, wenn
jede geschlossene Kugel Kontrahierbar ist.

Poincaré Vermutung 1904: S^3 ist die einzige einfache
zusammenhängende 3-dim. Mannigfaltigkeit.

Es existiert auch eine höherdimensionale Version.
Diese wurde von Smale (n=4) 1960 bewiesen
(Fieldsmedaille 1966), von Freedman (n=4) 1982 (Fields 1986).
Perelman löste die ursprüngliche Vermutung 2002 (Fields
2006). Hilfsmittel: Ricci-Fluss (Hamilton)

3) Geometrische Charakterisierung der n -Sphäre: (4)

Sei M einfach zusammenhängend, $K \approx 1$. Ist dann $M = S^n$? Genauer: Sei $h \leq K \leq 1$ (oder $h \cdot cK \leq 1$)

für ein festes h . Folgt dann

a) M ist homöomorph zu S^n

oder sogar

b) M ist diffeomorph zu S^n ?

Bem.: Der Unterschied zwischen a) und b) ist subtil.

Es gibt Mannigfaltigkeiten, die homöomorph, aber nicht diffeomorph sind. z.B. hat Milnor (Fields 1962) gezeigt, dass es auf S^7 genau 28 verschiedene „differenzierbare Strukturen“ gibt.

Bem.: Ist $h < \frac{1}{4}$, so gibt es Gegenbeispiele:

Komplex-projektive, quaternionisch projektive Räume haben $\frac{1}{4} \leq K \leq 1$, sind aber nicht homöomorph zu S^n .

Raub	$h \approx \frac{3}{4}$	für al 1957	jeaile für al
Klingenberg	$h = 0.55$	(n grade)	
Berger	$h = \frac{1}{4}$	(n grade)	
Klingenberg	$h = \frac{1}{4}$	(n beliebig)	

Differenziertebare Version:

Gromoll-Calabi $h = h \ln n / \approx 7$ 1966

Sugimoto, Shiohama, Karcher, Raub $h = 0.87$ 1971

Chen 1991, $n=4$, $h = \frac{1}{4}$. (Ricci fluss)

Finale Version: $h = \frac{1}{4}$ reicht immer aus für b)
(Brendle-Schoen 2007, Ricci fluss)

4) Ricci fluss

Nimm Metrik g auf M , die von einer „Zeit“ t abhängt. Versuche, die Metrik so zu verändern, dass stark gekrümmte Teile flacher werden.

$\text{Ric} = \text{Ricci tensor}$, misst die Krümmung von M .

Ricci fluss: $\frac{d}{dt} g_t = -2 \text{Ric}(g_t)$

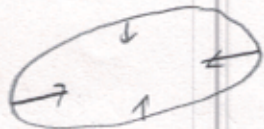
Eingeführt von Hamilton.

Hoffnung: für $t \rightarrow \infty$ konvergiert g_t gegen runde Sphäre.

⑥

Ähnliche Gleichung: Fluss entlang mittlerer Krümmung

Analogisch:



Gummiband schaftzt zusammen

Im Grenzwert um Punkt. Nach Reskalieren wird das Bild immer „runder“.

Problem: Ricci-Fluss ist eine PDE, sie muss keine Lösungen besitzen.